

مجله مخاطرات محیط طبیعی، دوره ششم، شماره ۱۴، زمستان ۱۳۹۶

تاریخ دریافت مقاله: ۹۵/۰۳/۱۲

تاریخ پذیرش مقاله: ۹۶/۰۳/۱۶

صفحات: ۱۴۱-۱۵۲

## مقایسه روش‌های برآورد خطر فرسایش کرانه ای با استفاده از مدل NBS (مطالعه موردی: رودخانه گلالی قروه)

محمد مهدی حسین زاده<sup>۱</sup>، سمیه خالقی<sup>۲\*</sup>، میلاد رستمی<sup>۳</sup>

### چکیده

پدیده فرسایش و انتقال رسوب از جمله فرآیندهای هیدرودینامیکی مهمی است که بسیاری از سیستم‌های هیدرولیکی نظیر حوضه‌های آبریز، رودخانه‌ها، سواحل و بنادر، سدها، پل‌ها، جاده‌ها، کشتزارها و تأسیسات عمرانی را متأثر می‌سازد. در این مقاله برای بررسی فرسایش کرانه رودخانه گلالی قروه به عنوان یک رودخانه ناپایدار، از نقشه برداری میدانی و گوگل ارث استفاده شد و پارامترهای مورفولوژی مجرا و میزان فرسایش کرانه رودخانه بر اساس شاخص تنش برشی نزدیک کرانه رودخانه (NBS) راسگن، بدست آمد. ارزیابی فشار برشی نزدیک کرانه در پیش‌بینی فرسایش بسیار با اهمیت است طوری که نشان دهنده توزیع انرژی جریان در مقطع عرضی مجرا بویژه کرانه مجرا می‌باشد و این توزیع نامتناسب انرژی جریان می‌تواند منجر به فرسایش کرانه شود. برای تخمین NBS از سه روش نسبت شعاع انحناء به عرض دبی لبالی ( $R_c/W_{bkf}$ )، نسبت حداکثر عمق نزدیک کرانه به متوسط عمق دبی لبالی ( $d_{nb}/d_{bkf}$ ) و نسبت تنش برشی نزدیک کرانه به تنش برشی دبی لبالی ( $t_{nb}/t_{bkf}$ ) استفاده شد. نتایج نشان داد که در روش ( $R_c/W_{bkf}$ )، میزان فرسایش پذیری کرانه در اکثر مقاطع، متوسط تا خیلی کم بوده، در روش ( $d_{nb}/d_{bkf}$ ) در اکثر مقاطع فرسایش‌پذیری کرانه‌ها در حد کم بوده و در روش ( $t_{nb}/t_{bkf}$ ) خیلی زیاد است که نهایتاً روش نسبت حداکثر عمق نزدیک کرانه به متوسط عمق دبی لبالی ( $d_{nb}/d_{bkf}$ ) با توجه به واقعیت صحت بیشتری نسبت به روش‌های شعاع انحناء به عرض دبی لبالی ( $R_c/W_{bkf}$ ) و نسبت تنش برشی نزدیک کرانه به تنش برشی دبی لبالی ( $t_{nb}/t_{bkf}$ ) دارند و برای رودخانه گلالی مناسب‌ترند.

واژگان کلیدی: فرسایش کرانه، دبی لبالی، مدل NBS، تنش برشی، رودخانه گلالی

m\_hoseinzadeh@sbu.ac.ir

s\_khaleghi@sbu.ac.ir

rostamimilad1370@gmail.com

۱- دانشیار، گروه جغرافیای طبیعی، دانشکده علوم زمین، دانشگاه شهید بهشتی

۲- استادیار، گروه جغرافیای طبیعی، دانشکده علوم زمین، دانشگاه شهید بهشتی (نویسنده مسئول)

۳- دانشجوی کارشناسی ارشد جغرافیای طبیعی، دانشکده علوم زمین، دانشگاه شهید بهشتی

## مقدمه

تغییرات کانال رودخانه مانند فرسایش کناره ای و ایجاد بریدگی ها و رسوبگذاری کناره ای فرآیند های طبیعی رودخانه هستند که باعث تخریب زمین های کشاورزی اطراف رودخانه و خسارت به تأسیسات انسانی و راه ها می شود. (گریگوری، ۱۷۲) فرسایش کناره رود یکی از علل عمده آلودگی غیر نقطه‌ای منابع آب و افزایش بار رسوب در بسیاری از رودخانه ها است (ویلسون، ۲۰۰۸؛ راسگن<sup>۱</sup>، ۲۰۰۱). افزایش فرسایش کناره‌ای نه تنها موجب افزایش بار رسوب می‌شود بلکه موجب ناپایداری رودخانه و تغییر نوع جریان و الگوی کانال هم می‌شود. از این رو طی چند دهه اخیر بار رسوب و ناپایداری کناره‌ای رود، نگرانی‌های عمده‌ای را در سطح جهان ایجاد نموده و مبالغ زیادی برای پایداری کناره‌های رود صرف شده است (برن هاردت، ۲۰۰۵). عمل این فرسایش متفاوت با دیگر انواع فرسایش است. فرسایش در امتداد کناره ها و بستر نهر های دائمی همواره فعال است، در حالی که انواع دیگر فرسایش فقط در حین بارندگی و یا کمی پس از شروع آن فعال هستند. برای پیش‌بینی میزان فرسایش کناره رودخانه از روش ارزیابی کناره برای پیامد منبع غیر نقطه‌ای رسوب (BANCS<sup>۲</sup>) استفاده می‌شود که توسط (راسگن، ۲۰۰۱) ارائه شده و برای محاسبه آن، دو روش تخمین فرسایش‌پذیری کناره (سطح III طبقه بندی راسگن) استفاده می‌شود: ۱- شاخص خطر فرسایش کناره (BEHI<sup>۳</sup>) - ۲- تنش برشی نزدیک کناره (NBS<sup>۴</sup>). ارزیابی فشار برشی نزدیک کناره در پیش‌بینی فرسایش بسیار با اهمیت است به طوری که نشان دهنده توزیع انرژی جریان در مقطع عرضی مجرا بویژه کناره مجرا می‌باشد و این توزیع نامتناسب انرژی جریان می‌تواند منجر به فرسایش کناره شود. تا کنون تحقیقات زیادی توسط محققان داخلی و خارجی در زمینه ناپایداری و فرسایش کناره رودخانه انجام گرفته است از جمله: امین نژاد و همکاران (۱۳۸۸) در پژوهشی اثر طول آب شکن در محافظت از سواحل رودخانه در فرسایش کناره ای دشت های سیلابی را به روش مدل فیزیکی مورد بررسی قرار داده اند. که برای بررسی مطالعات مربوط به آبشستگی، با مدل سازی فیزیکی، از سه آب متوالی با سه طول مختلف و به صورت یک طرفه و با سه دبی، طراحی و آزمایش کرده اند و الگوی کلی آبشستگی اطراف آب شکن ها ارائه و بایکدیگر مقایسه شده اند. خمایی پامساری و همکاران (۱۳۹۰) به برآورد شاخص فرسایش کناری راسگن با استفاده از مدل HEC-RAS در رودخانه خرسان پرداختند. در این تحقیق هیدرولیک جریان در رودخانه خرسان، از سرشاخه‌های اصلی کارون، در محدوده ورودی به مخزن سد خرسان ۳، با استفاده از مدل عددی HEC-RAS شبیه‌سازی و مقاطع عرضی و پارامترهای هیدرولیکی جریان از جمله سرعت و تنش برشی جریان و شاخص فرسایش پذیری کناره رودخانه محاسبه گردید. رضایی‌مقدم و همکاران (۱۳۹۱) به تحلیل وضعیت پایداری مجرای رودخانه قزل اوزن با استفاده از روش‌های تنش برشی، شاخص مقاومت نسبی بستر پرداختند و پس از تحلیل وضعیت پایداری رودخانه، نتایج این روش‌ها با مطالعات صحرائی مقایسه شدند. نتایج نشان داد که در منطقه مورد مطالعه روش‌های تنش برشی و شاخص مقاومت نسبی بستر، تنها در مجراهای آبرفتی اهمیت

<sup>1</sup> - Rosgen

<sup>2</sup> - Bank Assessment for Non-point source Consequences of Sediment

<sup>3</sup> - Bank Erosion Hazard Index (BEHI)

<sup>4</sup> - Near Bank Stress (NBS)

داشته و به نتایج آنها می‌توان استناد کرد ولی در بازه های غیر آبرفتی نتایجی غیر واقعی دارد. خالقی و ملکانی (۱۳۹۴) در پژوهشی برآورد فرسایش کرانه رودخانه ليقوان چای با استفاده از شاخص تنش برشی نزدیک کرانه راسگن پرداخته اند که نتایج نشان داد که در روش  $(R_c/W_{bpf})$ ، میزان فرسایش‌پذیری کرانه در اکثر مقاطع به جز مقطع ۱۰، کم تا خیلی کم بوده و در روش  $(d_{nb}/d_{bkr})$  در اکثر مقاطع فرسایش‌پذیری کرانه‌ها در حد کم تا متوسط است. طبق طبقه‌بندی راسگن، اکثر بازه‌ها در گروه C و E هستند. نهایتاً، در رودخانه ليقوان چای، نتایج  $(d_{nb}/d_{bkr})$  برای بررسی میزان فرسایش‌پذیری کرانه (NBS) مناسب تر از روش  $(R_c/W_{bpf})$  است. لایقی و کرم (۱۳۹۳) در طبقه‌بندی هیدروژئومورفولوژیکی ۲۳ کیلومتر از رودخانه جاجرود به منظور احیاء رود و اقدامات مدیریتی از سیستم طبقه‌بندی مورفولوژیکی راسگن بهره گرفتند. نتایج نشان داد بخش اعظم این بازه مطالعاتی دارای الگوی DA است و بخش کمی از رودخانه دارای الگوی B با وضعیت بسیار نامطلوبی است. با انجام اقدامات کنترلی در بالادست رودخانه و عملیات آبخیزداری در کناره‌ها مانند احداث گابیون، کنترل پوشش کناره‌ها و اصلاح خاک تا حد زیادی می‌توان میزان تخریب را کاهش داد. حقی آبی و امام قلی زاده (۱۳۹۳) در پژوهشی برای پیش بینی فرسایش کناری بخش های پیچانرودی رودخانه کشکان از نقشه های تپوگرافی و عکس های ماهواره ای استفاده کرده اند و با انجام بازدید های میدانی و مقایسه پلان جدید و قدیم رودخانه با استفاده از نرم افزار GIS، تغییرات رودخانه در طی دوره ۵۲ ساله مورد بررسی و بازه های بحرانی را مشخص کرده اند که نتایج این پیش بینی نشان داده رودخانه در منطقه کلهر سفلی و چرخستان ۶۵۷ متر، در منطقه خاطره، دو آب و دول بزرگ ۱۰۳۵ متر و در منطقه بالا دست چم پلک ۱۲۹۷ متر پیشروی نماید تا تثبیت گردد. حسین زاده و اسماعیلی (۱۳۹۴) در پژوهشی مدل سازی فرسایش کرانه رودخانه را با استفاده از مدل BSTEM در رودخانه لایویج انجام داده اند. که نتایج تحلیل مدل نشان می دهد که پسروی اندازه گیری شده در کرانه رود در سناریوهای مختلف از ۰ تا ۸۱ سانتی متر تغییر می کند و شرایط پایداری کرانه نیز در اولین سناریو ناپایدار ( $FS=0/9$ ) و در سناریوی دوم و سوم تقریباً پایدار ( $FS=1/26-1/15$ ) است. اضافه شدن پوشش گیاهی بالای کرانه مقاومت چسبندگی در ۱ متر بالای کرانه را افزایش داده و منجر به کاهش بیشتر فراوانی و حجم شکست کرانه می شود. نتایج نشان داد که در نتیجه دخالت حفاظت های انجام گرفته بر روی کرانه های فرسایش پذیر، حجم کلی رسوبات فرسایش یافته از کرانه را می توان کاهش داد. راسگن (۲۰۰۱) در پژوهشی برای ارزیابی مدل های پایداری کانال رود در منطقه چشمه پاسوگا برای ارزیابی و پیش بینی فرسایش کناره ای و نیز میزان رسوب از طبقه بندی سلسله مراتبی راسگن استفاده کرده است و با بهره گیری از متغیرهایی چون تغییرات در شاخص های کنترل فرم کانال در درجه اول و رژیم رسوب، پوشش گیاهی و تغییرات فیزیکی این محدوده در درجه دوم این سیستم طبقه بندی را مورد اعتبار سنجی قرار داده است. کوریت<sup>۱</sup> (۲۰۱۴) به تجزیه و تحلیل ارزیابی مجرا برای روش پیامدهای منبع غیر نقطه‌ای رسوب BANCS برای پیش‌بینی فرسایش و پایداری کرانه رودخانه در Stony Clove Creek در Catskills پرداختند. این مطالعه نشان داد که نتایج تا حدی ناتمام بوده و روش BANCS ممکن

<sup>1</sup> - Coryat

است برای مدیریت آینده حوضه Stony Clove بهبود یابد. کوان و سوانسن<sup>۱</sup> (۲۰۱۴) به پیش‌بینی فرسایش سالانه کرانه رودخانه با استفاده از شاخص خطر فرسایش کرانه BEHI و روش تنش برشی نزدیک کرانه NBS برای جنگل ملی سکویا در کالیفرنیا پرداختند. BEHI، حساسیت کرانه را به فرسایش بر اساس زاویه کرانه، ارتفاع کرانه و دبی لبالبی، عمق و تراکم ریشه‌ها، حفاظت سطحی، چینه‌بندی مواد در کرانه‌ها ارزیابی می‌نماید. NBS توزیع انرژی در سواحل را بر اساس اندازه‌گیری نسبت حداکثر عمق نزدیک کرانه به متوسط عمق دبی لبالبی ارزیابی می‌کند. در نهایت نتایج BEHI و NBS با فرسایش واقعی کرانه در سال‌های ۲۰۰۸ تا ۲۰۱۲ مقایسه شد. روابط بین فرسایش اندازه‌گیری شده و BEHI، استفاده از NBS / BEHI را به یک منطقه جدید گسترش داد که در آن آنها می‌توانند اولویت‌های مدیریت، جنگل کاری، پروژه‌های احیاء رودخانه یا سواحل / ساحلی ترمیم و به طور بالقوه بازسازی منطقه سوخته را اطلاع رسانی دهند.

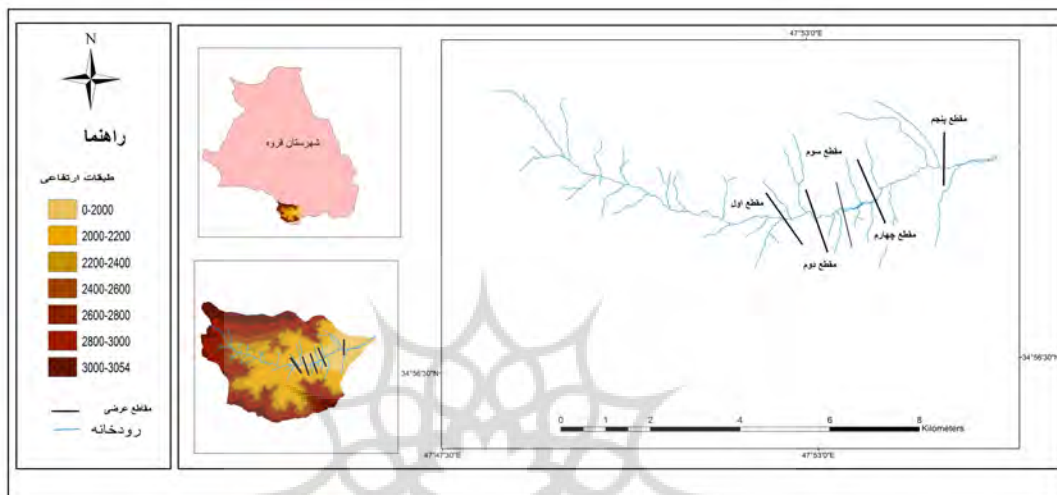
کریشنا و همکاران (۲۰۱۶) به اعتبارسنجی مدل BANCS جهت ارزیابی پتانسیل خطر فرسایش کرانه رودخانه بکرشوار در هند شرقی پرداختند. نتایج نشان داد که مقدار BEHI در قسمت‌های بالادست و محل‌های تلاقی بالاست اما مقدار NBS کمتر است. خاک لاتریتی ضعیف و پوشش گیاهی تنک و غیره در بالادست و شیب زیاد و کناره‌های برهنه، مجاری سینوسی، رسوبابت آبرفتی سست و غیره در پایین دست می‌تواند برای پتانسیل خطر بالای فرسایش کناره‌ای در نظر گرفته شود. در نهایت اینکه، BEHI و NBS برای پیش‌بینی خطر فرسایش کناره‌ای این رودخانه مناسب نبودند. هدف این مطالعه، بررسی میزان خطر فرسایش کرانه‌ای در رودخانه گلالی قروه می‌باشد بنابراین ابتدا پارامترهای موثر در فرسایش پذیری کرانه رودخانه گلالی بر اساس مدل تنش برشی نزدیک کرانه استخراج و سپس میزان انطباق مقادیر اندازه‌گیری شده با مشاهدات میدانی بررسی می‌گردد.

## داده‌ها و روش‌ها

حوضه آبخیز گلالی در فاصله ۴۳ کیلومتری شهرستان قروه، در جنوب شرقی استان کردستان واقع شده است که در موقعیت جغرافیایی ۴۷ درجه و ۴۷ دقیقه تا ۴۷ درجه و ۵۹ دقیقه طول جغرافیایی، ۳۴ درجه ۵۵ دقیقه تا ۳۵ درجه و ۱ دقیقه عرض جغرافیایی و در زون ۳۸ قرار گرفته است (شکل ۱). مساحت حوضه ۸۳،۸۵۷ کیلومتر مربع می‌باشد. مرتفع‌ترین قله آن ۳۱۲۴ متر و کمترین ارتفاع آن ۱۸۲۷ متر است با ۵ منطقه مسکونی به نام‌های گلالی، شیروانه، تکیه علیا، تکیه سفلی، درمه و قورمه دره به اضافه یک معدن آهن و یک کارخانه ماسه شویی و آسفالت. در منطقه مورد مطالعه دمای متوسط سالانه ۶،۳ درجه سانتیگراد، متوسط حد اکثر دمای ماهانه در مرداد ماه برابر ۲۸،۸ درجه سانتیگراد و متوسط حد اقل دمای ماهانه ۱۱،۶- درجه سانتیگراد می‌باشد. مقدار میانگین بارش سالانه منطقه ۴۱۸،۴ میلی‌متر در سال می‌باشد. اقلیم منطقه مورد مطالعه در روش آمبرژه اقلیم نیمه خشک سرد می‌باشد. بازه

<sup>۱</sup>- Kwan and Swanson

مورد مطالعه در این مقاله به طول ۳ کیلومتر و از پل کنار روستای شیروانه تا پل بعدی که در روستای گلالی قرار دارد و ضریب خمیدگی آن برابر ۱۱,۳۳ است و دارای حالت سینوسیته است مورد بررسی قرار گرفته است.



شکل ۱: بازه مورد مطالعه

تعداد ۵ مقطع عرضی در بازه مورد نظر از پل روستای شیروانه تا پل روستای گلالی به طول ۲,۷۹۴ کیلومتر انتخاب شد (شکل ۱) و اقدام به تهیه پروفیل‌های عرضی مجرا با استفاده از متر پارچه ای و شاخص نقشه برداری گردید و پارامترهایی نظیر عرض دبی لبالبی، عمق متوسط دبی لبالبی و حد اکثر عمق در یک سوم کرانه‌ها اندازه‌گیری شد.

### الف- شاخص NBS

روش‌های مختلفی جهت محاسبه تنش برشی کرانه ابداع شده که از بین آن‌ها می‌توان به روش روسگن با عنوان NBS اشاره کرد. روش‌های مورد استفاده در تخمین NBS عبارتند از:

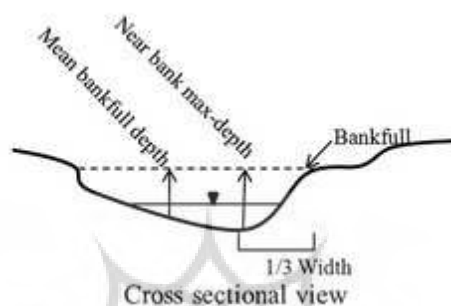
۱- الگوی مجرا و ارزیابی بارها ۲- نسبت شعاع انحناء به عرض دبی لبالبی (مقطع پر) ۳- نسبت شیب خیزاب به میانگین شیب سطح آب ۴- نسبت شیب خیزاب به شیب تنداب ۵- نسبت حداکثر عمق نزدیک کرانه<sup>۱</sup> به متوسط عمق دبی لبالبی ۶- نسبت تنش برشی نزدیک کرانه به تنش برشی دبی لبالبی ۷- گرادیان سرعت (کوریات، ۲۰۱۴).

در این روش تخمین تنش برشی کرانه در ارتباط با جریان دبی لبالبی<sup>۲</sup> است که در آن می‌توان از هفت روش استفاده نمود. در اینجا باید روش مناسب را انتخاب نمود که نشان دهنده شرایط منطقه باشد و میانگینی از کلیه

<sup>1</sup> - Near-Bank Maximum Depth

<sup>2</sup> - Bankfull

روش ها توصیه نمی شود. احتمال زیاد روش ۲ و ۵ و ۶ بیشتر استفاده می شود. با توجه به ویژگی های کرانه جریان رودخانه گلالی، سه روش نسبت شعاع انحناء به عرض دبی لبالبی  $(R_c/W_{bf})$ ، نسبت حداکثر عمق نزدیک کرانه به متوسط عمق دبی لبالبی  $(d_{nb}/d_{bf})$  (شکل ۲) و نسبت تنش برشی نزدیک کرانه به تنش برشی دبی لبالبی  $(t_{nb}/t_{bf})$  انتخاب شد.



شکل ۲: نحوه اندازه گیری حداکثر عمق نزدیک کرانه  
(کوان و سوان ۲۰۱۴)

تنش برشی در دبی لبالبی با استفاده از معادله ۱ و تنش برشی نزدیک کرانه از معادله ۲ برای هریک از مقاطع به دست آمد. و داده های مورد نیاز این بخش از طریق برداشت میدانی جمع آوری می شود. به این منظور با استفاده از شاخص نقشه برداری و متر پارچه ای داده های هندسی مقاطع شامل: عرض دبی لبالبی، حداکثر عمق نزدیک کرانه و متوسط عمق دبی لبالبی اندازه گیری می شود.

$$\tau_1 = gRS \rho_w \quad (1)$$

$$\tau_2 = gdS\rho_w \quad (2)$$

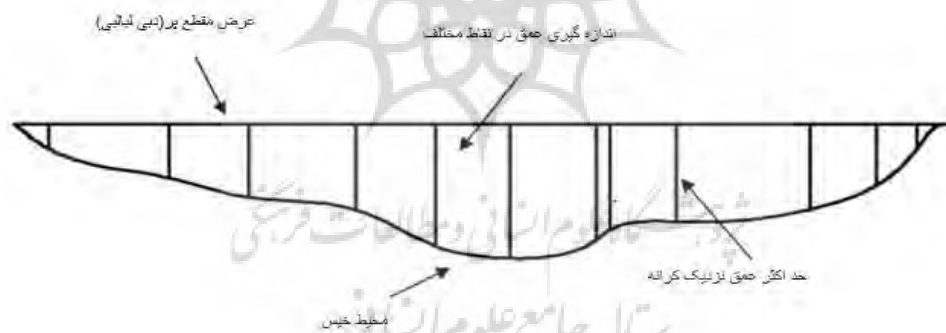
که  $\tau$  ۱ (تاو)، تنش برشی دبی لبالبی بر حسب نیوتن بر متر مربع،  $\rho_w$  (رو)، چگالی آب ۱۰۰۰ کیلو گرم بر متر مربع،  $g$ ، شتاب ثقل ۹/۸۱ متر بر ثانیه،  $R$ ، شعاع هیدرولیک به متر،  $S$ ، شیب بستر متر بر متر و  $D$ ، عمق متوسط است.

اندازه گیری مقطع دبی لبالبی: باتوجه به آثار کناره رودخانه از جمله: زیر بری رودخانه، تغییرات جنس در کرانه رودخانه، باتوجه به آثار خزه ها و گلسنگ ها، تغییرات رنگ سنگ ها و در محل هایی که دشت سیلابی داریم لبه دشت سیلابی دبی لبالبی یا عرض دبی لبالبی مشخص می شود. که می توان با استفاده از متر پارچه ای آن را اندازه گیری کرد (شکل ۳ و ۴).



شکل ۳: نمایی از اندازه گیری دبی لبالبی  
(لاولر، ۲۰۰۴)

اندازه گیری عمق: برای مشخص نمودن متوسط عمق و حد اکثر عمق نزدیک کرانه با استفاده از شاخص نقشه برداری در نقاط مختلف از دبی لبالبی، عمق اندازه گیری می شود که میانگین عمق‌های هر مقطع به عنوان عمق متوسط و بیشترین عمق در یک سوم هر دو طرف رودخانه به عنوان حد اکثر عمق نزدیک کرانه در نظر گرفته می شود. برای به دست آوردن شعاع انحنا نیز از تصاویر گوگل ارث و نرم افزار اتوکد استفاده می گردد. (شکل ۴)



شکل ۴: اندازه گیری پارامترهای پروفیل مقطع عرضی کانال در یکی از مقاطع مورد مطالعه

شعاع انحناء<sup>۱</sup>: شعاع انحناء را برای هر مقطع در محیط اتوکد و با استفاده از تصاویر گوگل ارث به دست می آوریم. که در این روش ابتدا تصویر برداشته شده از گوگل ارث را از مقطع مورد نظر باید هم مقیاس کرده و سپس شعاع انحناء را به دست آورد (شکل ۵).

<sup>۱</sup> - Radius of Curvature



شکل ۵: نحوه اندازه گیری شعاع انحناء

ضریب خمیدگی<sup>۱</sup>: میزان ضریب خمیدگی برای بازه با استفاده از تصاویر گوگل ارث و هم مقیاس کردن در نرم افزار اتوکد به دست آمد. در جایی که طول مجرا به صورت طول تالوگ فرض شود، از تقسیم طول مجرا (SL)، به طول دره (VL) ضریب خمیدگی (k) به دست می آید (مورت<sup>۲</sup>، ۲۰۰۱).

در نهایت بر طبق پارامترهای اندازه گیری شده، میزان فرسایش پذیری کرانه رودخانه در سطوح مختلف از خیلی کم تا شدید تعیین می گردد (جدول ۱).

جدول ۱: حدود تغییرات شاخص های مؤثر در میزان فرسایش کرانه (راسگن، ۲۰۱۱)

میزان فرسایش - پذیری کرانه (NBS)	نسبت تنش برشی نزدیک کرانه به تنش برشی دبی لبالبی	نسبت حداکثر عمق نزدیک کرانه به متوسط عمق دبی لبالبی $\left(\frac{d_{nb}}{d_{bkf}}\right)$	نسبت شعاع انحناء به عرض دبی لبالبی $\left(\frac{R_c}{W_{bkf}}\right)$
خیلی کم	کمتر از ۰/۸۰	کمتر از ۱	بیشتر از ۳
کم	۰/۸۰-۱/۰۵	۱-۱/۵	۲/۲۱-۳
متوسط	۱/۰۶-۱/۱۴	۱/۵۱-۱/۸۰	۲/۰۲-۲/۲۰
زیاد	۱/۱۵-۱/۱۹	۱/۸۱-۲/۵۰	۱/۸۱-۲
خیلی زیاد	۱/۲۰-۱/۶۰	۲/۵۱-۳	۱/۵۰-۱/۸۰
شدید	بیشتر از ۱/۶۰	بیشتر از ۳	کمتر از ۱/۵۰

### یافته ها و بحث

متغیرهای مؤثر در فرسایش کرانه رودخانه گلالی قروه شامل شعاع انحناء، عرض دبی لبالبی، حداکثر عمق نزدیک کرانه، تنش برشی نزدیک کرانه، تنش برشی دبی لبالبی و متوسط عمق دبی لبالبی از طریق اندازه گیری های میدانی و نقشه های توپوگرافی بدست آمد (جدول ۲).

<sup>1</sup> - Curvature coefficient

<sup>2</sup> - Moret



جدول ۲: پارامترهای موثر در فرسایش کرانه رودخانه گلالی قروه بر طبق شاخص NBS

تنش برشی دبی لبالبی	تنش برشی نزدیک کرانه	متوسط عمق دبی لبالبی (متر)	حداکثر عمق نزدیک کرانه (متر)	عرض دبی لبالبی (متر)	شیب S	شعاع انحناء	ضریب خمیدگی	مقطع عرضی
۱۴۵/۶۷۸۵	۱۹۴/۲۳۸	۰/۶۷۵	۰/۹	۶/۸	۰/۰۲۲	۱۴/۶۸	۱/۵۰	۱
۱۳۳/۹۲	۳۹/۱۸۶	۰/۷۱۸۵	۱	۹/۸	۰/۰۱۹	۱۶	۱/۵۰	۲
۱۱۲/۲۵	۱۵۷/۹۴۱	۰/۴۹۷۵	۰/۷	۷/۵	۰/۰۲۳	۵۲/۷۱۴	۱/۴۳	۳
۱۱۷/۳۴	۱۶/۴۸۸	۰/۴۹۸۴	۰/۷	۹/۴	۰/۰۲۴	۴۹/۹۳۴	۱/۵۴	۴
۶۷/۷	۱۱۶/۷۳۹	۰/۴۰۶	۰/۷	۵/۹	۰/۰۱۷	۱۱/۹۲	۱/۷۷	۵

پس از مشخص شدن پارامترها، نسبت شعاع انحناء به عرض دبی لبالبی، نسبت حداکثر عمق نزدیک کرانه به متوسط عمق دبی لبالبی و نسبت تنش برشی نزدیک کرانه به تنش برشی دبی لبالبی محاسبه گردید (جدول ۳). همچنین اندازه ضریب خمیدگی برای رودخانه های مستقیم کمتر از ۱/۰۵، برای رودخانه های سینوسی بین ۱/۰۵ تا ۱/۵ و برای رودخانه های ماندری بیشتر از ۱/۵ است (مورت به نقل از مونت، ۱۹۹۵). بنابراین طبق این تعریف، مقاطع ۱، ۲ و ۴ از نوع سینوسی و مقاطع ۳ و ۵ از نوع ماندری می باشند. بنابراین می توان گفت مقاطع پایین دست فرسایش پذیرتر از مقاطع بالادست می باشند.

جدول ۳: میزان فرسایش پذیری کرانه رودخانه گلالی قروه بر اساس شاخص NBS

NBS	نسبت تنش برشی نزدیک کرانه به تنش برشی دبی لبالبی	NBS	نسبت حداکثر عمق نزدیک کرانه به متوسط عمق دبی لبالبی	NBS	نسبت شعاع انحناء به عرض دبی لبالبی	مقطع عرضی
خیلی زیاد	۱/۳۳	کم	۱/۳۳	متوسط	۲/۱۵	۱
خیلی زیاد	۱/۳۹	کم	۱/۳۹	خیلی زیاد	۱/۶۳	۲
خیلی زیاد	۱/۴۰	کم	۱/۴	خیلی کم	۷/۱۶	۳
خیلی زیاد	۱/۴۰	کم	۱/۴	خیلی کم	۵/۳۱	۴
شدید	۱/۷۲	متوسط	۱/۷۲	متوسط	۲/۰۲	۵

بر اساس نسبت شعاع انحناء به عرض دبی لبالبی، میزان فرسایش پذیر کرانه رودخانه در اکثر مقاطع خیلی کم تا متوسط است به جز مقطع ۲، بر اساس نسبت حد اکثر عمق نزدیک کرانه به متوسط عمق دبی لبالبی در اکثر کرانه ها فرسایش کم و مقطع ۵ متوسط است. اما بر اساس نسبت تنش برشی نزدیک کرانه به تنش برشی دبی لبالبی اکثر مقاطع فرسایش خیلی زیاد و مقطع ۵ شدید است که با واقعیت متناقض است.

بر اساس شاخص نسبت حداکثر عمق نزدیک کرانه به متوسط عمق دبی لبالبی مقاطع ۱، ۲، ۳ و ۴ میزان فرسایش پذیری کرانه کم و در مقطع ۵ فرسایش پذیری کرانه متوسط می باشد که این نتایج با مشاهدات میدانی مطابقت

دارد (شکل ۶). طبق شکل ۶ در مقطع شماره ۵ در کرانه سمت چپ نشانی از فرسایش دیده می شود در حالی که در مقطع شماره ۳ فرسایش پذیری در هر دو کرانه کم است.



شکل ۶: مقطع شماره ۵ با فرسایش پذیری متوسط (شکل سمت راست) و مقطع شماره ۳ با فرسایش پذیری کم (شکل سمت چپ)

### نتیجه گیری

نتایج حاصل از نسبت شعاع انحناء به عرض دبی لبالبی ( $\frac{R_c}{W_{b,krf}}$ ) نشان می دهد که میزان فرسایش پذیری کرانه در اکثر مقاطع خیلی کم تا متوسط است به جز مقطع ۲، نسبت حداکثر عمق نزدیک کرانه به متوسط عمق دبی لبالبی ( $\frac{d_{nb}}{d_{b,krf}}$ ) نشان می دهد که در اکثر مقاطع فرسایش پذیری کرانه ها در حد کم و در مقطع ۵ متوسط است، اما بر اساس نسبت تنش برشی نزدیک کرانه به تنش برشی دبی لبالبی ( $t_{nb}/t_{b,krf}$ ) کثر مقاطع فرسایش خیلی زیاد و مقطع ۵ شدید است. ضریب خمیدگی رودخانه گلالی در مقاطع بالادست حالت سینوسی دارد (شاخص ضریب خمیدگی بین ۱/۰۵ تا ۱/۵) و مقاطع پایین دست از نوع ماندی هستند از آنجا که استفاده از روش نسبت شعاع انحناء به عرض دبی لبالبی ( $\frac{R_c}{W_{b,krf}}$ ) برای زمانی مناسب است که یک شعاع تنگ در خم رودخانه دارای حداکثر تاثیر باشد و نتایج حاصل از نسبت تنش برشی نزدیک کرانه به تنش برشی دبی لبالبی ( $t_{nb}/t_{b,krf}$ ) با واقعیت متناقض است و تنها در مقطع شماره ۵ با واقعیت تطابق دارد. بنابراین نتایج روش نسبت حداکثر عمق نزدیک کرانه به متوسط عمق دبی لبالبی ( $\frac{d_{nb}}{d_{b,krf}}$ ) به واقعیت نزدیکتر خواهد بود. بنابراین نتایج روش نسبت حداکثر عمق نزدیک کرانه به متوسط عمق دبی لبالبی برای بررسی میزان فرسایش پذیری کرانه NBS مناسب تر از روش نسبت شعاع انحناء به عرض دبی لبالبی و روش تنش برشی نزدیک کرانه به تنش برشی دبی لبالبی است که این مسئله با نتایج (استار، ۲۰۰۸) مطابقت است که بیان می کند روش نسبت حداکثر عمق نزدیک کرانه به متوسط عمق دبی لبالبی پرکاربردتر از سایر روش هاست.

### منابع

امین نژاد، بابک، صانعی، مجتبی، کمالزاده، مهدی (۱۳۸۸). اثر طول آب شکن در محافظت از سواحل رودخانه در فرسایش، هشتمین کنگره بین المللی مهندسی عمران دانشگاه شیراز.

- حقی آبی، امیر حمزه، امام قلی زاده، صمد (۱۳۹۴). پیش بینی فرسایش کناری بخش های پیچانرودی رودخانه ی کشکان. جغرافیا و توسعه، ۴۰: ۱۲۵-۱۳۸.
- خالقی، سمیه، ملکانی، لیلا (۱۳۹۴). برآورد فرسایش کرانه رودخانه ليقوان چای با استفاده از شاخص تنش برشی نزدیک کرانه راسگن. کنگره بین المللی جغرافیا و توسعه پایدار، تهران.
- خمامی پامساری، حسن، کریمی پاشاکی، محمد حسین، کاویان‌فر، آزاده (۱۳۹۰). برآورد شاخص فرسایش کناری راسگن با استفاده از مدل HEC-RAS (مطالعه موردی رودخانه خرسان). دهمین کنفرانس هیدرولیک ایران، ۸-۱، دانشگاه گیلان.
- رضایی‌مقدم، محمد حسین ثروتی، محمدرضا اصغری سراسکانرود، صیاد (۱۳۹۱). تحلیل وضعیت پایداری مجرای رودخانه قزل‌اوزن با استفاده از روش‌های تنش برشی، شاخص مقاومت نسبی بستر و مطالعات صحرایی. پژوهش‌های ژئومورفولوژی کمی، (۱): ۴۶-۳۳.
- سازمان معاونت برنامه‌ریزی و نظارت راهبردی. (۱۳۹۱). راهنمای مطالعات ریخت‌شناسی رودخانه‌ها. ۵۹۲: ۱-۱۶۶.
- لایقی، صدیقه، کرم، امیر (۱۳۹۳). طبقه‌بندی هیدروژئومورفولوژیکی رودخانه جاجرود با مدل روزگن. پژوهش‌های ژئومورفولوژی کمی، (۳): ۱۴۳-۱۳۰.
- وزارت نیرو. (۱۳۸۳). راه‌های مهار فرسایش و حفاظت از رودخانه‌ها، ۱۴۹-ن: ۱-۱۱۵.
- Bernhardt, E. S., Palmer, M. A., Allan, J. D., Alexander, G., Barnas, K., Brooks, S., Carr, J., Clayton, S., Dahm, C., Follstad-Shah, J., Galat, D., Gloss, S., Oodwin, P., Hart, D., Hassett, B., Jenkinson, R., Katz, S., Kondolf, G. M., Lake, P. S., Lave, R., Meyer, J. L., O'Donnell, T. K., Pagano, L., Powell, B. and Sudduth, E. (2005). Synthesizing U. S. River restoration efforts, Science, 308, 636-637.
- Coryat, M. (2014). Analysis of the Bank Assessment for Non-point Source Consequences of Sediment (BANCS) Approach for the Prediction of Streambank Stability and Erosion along Stony Clove Creek in the Catskills. Master of Science Thesis, Syracuse University.
- Gregory, k.j (2006), the Human role in changing River Channels Geomorphology 84, pp277-296.
- Kang, R.S. (2007). Effects of urbanization on channel morphology of three streams in the Central Redbed Plains of Oklahoma. ProQuest. Ph.D thesis. Faculty of the Graduate College. Oklahoma State University.
- Krishna, G. G. Pal, S., Mukhopadhyay, S. (2016). Validation of BANCS model for assessing stream bank erosion hazard potential (SBEHP) in Bakreshwar River of Rarh region, Eastern India. Model. Earth Syst. Environ., 2:95, DOI 10.1007/s40808-016-0172-0. pp. 1-15.
- Kwan, H., Swanson, S. (2014). Prediction of Annual Streambank Erosion for Sequoia National Forest, California. JAWRA Journal of the American Water Resources Association, 50(6): 1439-1447.
- Lawlor, S. M. (2004). Determination of Channel-Morphology Characteristics, Bankfull Discharge, and Various Design-Peak Discharges in Western Montana. Scientific Investigations Report 2004-5263: 1-19.
- Moret, S.L. (2001). Predicting Channel Stability in Colorado Mountain Streams Using Hydrobiogeomorphic and Land Use Data: A Cost-Sensitive Machine Learning Approach to Modeling Rapid Assessment Protocols. Doctor of Philosophy, Oregon State University.
- Mount, J. F. (1995). California Rivers and Streams- The Conflict between Fluvial Process and Land Use, University of California Press, Berkeley, California.
- Rosgen, D.L. (2011). Watershed assessment of river stability and sediment supply (WARSSS). Wildland Hydrology, Fort Collins, Colorado.
- Rosgen, D. (2001). A practical method of computing streambank erosion rate. p. 9-15. In Proc. 7th Federal Interagency Sedimentation Conf., Reno, NV. 25-29 Mar. 2001. Vol. 2. USGS, Reston, VA. -Simon, A. and Darby, S. E., 1999. The nature and significance of incised river channels. In: Darby, S. E., Simon, A. (eds.), Incised river channels, John Wiley and Sons, Chichester, UK, 452 p.
- Starr, R. (2008). Maryland Trust Fund Geomorphic Monitoring, Stream Habitat Assessment and Restoration Program Chesapeake Bay Field Office U.S. Fish and Wildlife Service, (410): 573-4583.
- Wilson, C. G., Kuhnle, R. A., Bosch, D. D., Steiner, J. L., Starks, P. J., Tomer, M. D. and Wilson, G. V. (2008). Quantifying relative contributions from sediment sources in Conservation Effects Assessment Project watersheds. Journal of Soil and Water Conservation, 63: 523-531.

## Comparison of Stream Bank Erosion Hazard Methods Using NBS Model (Case Study: Galali River, Ghorveh)

Mohammad Mehdi Hosseinzadeh<sup>1</sup>, Somaiyeh Khaleghi<sup>2\*</sup>, Milad Rostami<sup>3</sup>

Received: 2016-06-01

Accepted: 2017-06-06

### Abstract

There are seven methods for estimating NBS, which include: channel pattern and bar assessment, ratio of radius of curvature to bank-full width ( $R_c/W_{bkf}$ ), ratio of pool slope to average water surface slope ( $S_p / S$ ), ratio of pool slope to rifle slope ( $S_p/S_{rif}$ ), ratio of near-bank maximum depth to bank-full mean depth ( $d_{nb}/d_{bkf}$ ), ratio of near-bank shear stress to bank-full shear stress ( $\tau_{nb}/\tau_{bkf}$ ) and use of velocity profile/isovel/velocity gradients. In this article, three methods were selected for estimating Near Bank Stress (NBS);  $R_c/W_{bkf}$ ,  $d_{nb}/d_{bkf}$ ,  $\tau_{nb} / \tau_{bkf}$  and then according to these methods, the erosion of the Galali river banks were determined at different levels from very low to extreme. Results showed that in the method radius of curvature to bank-full width ( $R_c/W_{bkf}$ ), the bank erosion was moderate to very low and in the method near-bank maximum depth to bank-full mean depth ( $d_{nb}/d_{bkf}$ ) in most cross-sections, the bank erosion was low and in method near-bank shear stress to bank-full shear stress ( $\tau_{nb}/\tau_{bkf}$ ) the bank erosion was very high. Also, curvature coefficient shows that the river is sinuosity in cross-sections 1, 2 and 3 and is a meandering river in cross-sections 4 and 5. Comparing the results and field observation shows that the method near-bank maximum depth to bank-full mean depth is acceptable. Finally, in the Galali river, results of near-bank maximum depth to bank-full mean depth ( $d_{nb}/d_{bkf}$ ) for assessment of the bank erosion (NBS) is better than method radius of curvature to the bank-full width ( $R_c/W_{bkf}$ ) and near-bank shear stress to bank-full shear stress ( $\tau_{nb}/\tau_{bkf}$ ). The Galali river has low to moderate bank erosion potential. Also, the river is sinuosity in upstream and is meandering in downstream and according to field observation, bank erosion potential in downstream of the Galali river is more than upstream.

**Keywords:** Bank erosion, Bank-full, NBS model, Shear stress, Galali River.

<sup>1</sup>- Associate Professor, Department of Physical Geography, Faculty of Earth Sciences, Shahid Beheshti University

<sup>2\*</sup>- Assistant Professor, Department of Physical Geography, Faculty of Earth Sciences, Shahid Beheshti University Email: s\_khaleghi@sbu.ac.ir

<sup>3</sup>- MSc Student in Physical Geography, Faculty of Earth Sciences, Shahid Beheshti University